

I - 2 Lévy 解による有限帯板法

(株)日本構造橋梁研究所 正員の的場 興司
極東鋼弦コンクリート振興株式会社 宮崎 義成
信州大原 信州大原 谷本 勉允助

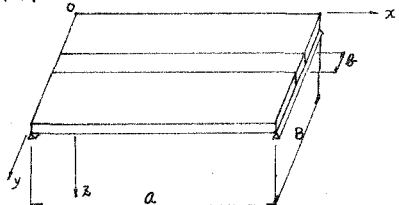
1 概要

現在、鋼構造物をはじめコンクリート構造物においても、箱型構などに用いられる薄肉構造物とみなされる構造物が増加している。これらの構造物の解析方法としては、一般的に橋軸方向については格子桁、橋軸直角方向については平面ラーメンを用いられているが、桁内ねじり(モリ)が作用したり、局所的な変形・応力などを計算した場合などは限らず少しも適切な解析方法ではない。

ここでは薄肉平板よりなる立体構造物を有限帯板法(Finite Strip Method)で解析するための基本となる面外曲げのみを受ける平板についての一手法について述べる。

現在、有限帯板法についての論文は種々発表されているが、仮想仕事の原理などエネルギー法に基づくものが大半であり、その結果、計算式が繁雑になり、したがってプログラムも複雑になるものと思われる。本解析は時間又は単純支持された矩形板の曲げ問題について M. Lévy の解を用いて基本微分方程式の厳密解から出発して漸近法による漸化变形法にて解析を試みたものである。

2. 解析



i) 出発式 板の曲げに関する基本微分方程式は

$$\frac{\partial^4 w}{\partial x^4} + 2 \frac{\partial^4 w}{\partial x^2 \partial y^2} + \frac{\partial^4 w}{\partial y^4} = \frac{q}{D} \quad (1)$$

右辺 = 0 における Lévy 解として知られている次式が得られる。

$$w = \sum_{m=1}^{\infty} Y_m \sin \frac{m\pi x}{a} \quad (2)$$

ここで

$$Y_m = \left[\text{ch} \frac{m\pi y}{a}, \text{sh} \frac{m\pi y}{a}, \frac{m\pi y}{a} \text{ch} \frac{m\pi y}{a}, \frac{m\pi y}{a} \text{sh} \frac{m\pi y}{a} \right] \text{Nm}$$

Nm は未定積分常数群で構成される固有値マトリクスであり

$$\text{Nm} = [A_m, B_m, C_m, D_m]^T$$

座標系を無次元化すれば

$$w = \sum_{m=1}^{\infty} \left[\text{ch} k_m p, \text{sh} k_m p, k_m p \text{ch} k_m p, k_m p \text{sh} k_m p \right] \text{Nm} \sin k_m p \quad (3)$$

$$\text{ここで } k_m = m\pi, k_m p = m\pi \frac{b}{a}, \xi = \frac{x}{a}, p = \frac{y}{b}$$

なお(3)式の解は、後で荷重項として考え、任意の荷重

について包含し得る解を求める。(3)式を出発式として有限帯板法の解析を進める。

ii) 一般物理量

$$\mathbf{W} = \begin{bmatrix} w \\ B_x \\ B_y \end{bmatrix} = \sum_{m=1}^{\infty} \begin{bmatrix} \sin k_m p \\ \cos k_m p \\ \sin k_m p \end{bmatrix} \begin{bmatrix} 1 & 0 \\ p_m & 0 \\ 0 & p_m \end{bmatrix} \begin{bmatrix} \text{ch} k_m p, \text{sh} k_m p, k_m p \text{ch} k_m p, k_m p \text{sh} k_m p \\ \text{sh} k_m p, \text{ch} k_m p, \text{ch} k_m p, \text{sh} k_m p, k_m p \text{ch} k_m p, k_m p \text{sh} k_m p \end{bmatrix} \text{Nm} \quad (4)$$

$$\mathbf{V} = \begin{bmatrix} M_x \\ M_y \\ M_{xy} \\ V_x \\ V_y \end{bmatrix} = \sum_{m=1}^{\infty} \begin{bmatrix} \sin k_m p \\ \sin k_m p \\ \cos k_m p \\ \cos k_m p \\ \sin k_m p \end{bmatrix} \begin{bmatrix} p_m^3 & 0 & -p_m^2 & 0 & \text{ch} k_m p & \text{sh} k_m p \\ 0 & p_m^2 & 0 & -p_m^2 & \text{sh} k_m p & \text{ch} k_m p \\ 0 & 0 & (1-p_m^2)p_m^2 & 0 & \text{ch} k_m p & \text{sh} k_m p \\ p_m^3 & 0 & -(2-p_m^2)p_m^2 & 0 & \text{sh} k_m p & \text{ch} k_m p \\ 0 & (2-p_m^2)p_m^2 & 0 & -p_m^2 & \text{ch} k_m p & \text{sh} k_m p \end{bmatrix} \begin{bmatrix} \text{ch} k_m p \text{ch} k_m p & \text{ch} k_m p \text{sh} k_m p \\ \text{ch} k_m p + \text{sh} k_m p \text{ch} k_m p & \text{sh} k_m p + \text{ch} k_m p \text{ch} k_m p \\ 2 \text{ch} k_m p + \text{sh} k_m p \text{ch} k_m p & 2 \text{ch} k_m p + \text{sh} k_m p \text{ch} k_m p \\ 3 \text{ch} k_m p + \text{sh} k_m p \text{ch} k_m p & 3 \text{ch} k_m p + \text{sh} k_m p \text{ch} k_m p \end{bmatrix} \quad (5)$$

ここで記号説明については、文献 1. 参照してある。

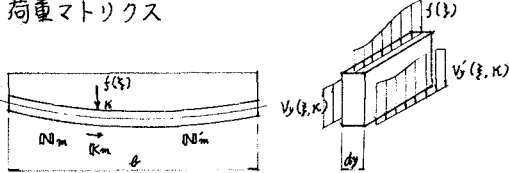
iii) 連続条件

$$\mathbf{W} = \begin{bmatrix} w \\ B_x \\ B_y \\ M_x \\ M_y \\ V_x \\ V_y \end{bmatrix} = \sum_{m=1}^{\infty} \begin{bmatrix} \sin k_m p \\ \sin k_m p \\ \cos k_m p \\ \cos k_m p \\ \sin k_m p \\ 0 & p_m & 0 & 0 \\ 0 & 0 & p_m^2 & 0 \\ 0 & 0 & 0 & p_m^3 \end{bmatrix} \begin{bmatrix} 1 & 0 & 0 & 0 \\ 0 & p_m & 0 & 0 \\ 0 & 0 & p_m^2 & 0 \\ 0 & 0 & 0 & p_m^3 \end{bmatrix} \begin{bmatrix} \text{ch} k_m p & \text{sh} k_m p & \text{ch} k_m p \text{ch} k_m p & \text{ch} k_m p \text{sh} k_m p & \text{sh} k_m p & \text{ch} k_m p \\ \text{ch} k_m p & \text{sh} k_m p & \text{ch} k_m p \text{ch} k_m p & \text{ch} k_m p \text{sh} k_m p & \text{sh} k_m p & \text{ch} k_m p \\ \text{sh} k_m p & \text{ch} k_m p & \text{ch} k_m p \text{ch} k_m p & \text{ch} k_m p \text{sh} k_m p & \text{ch} k_m p & \text{sh} k_m p \\ \text{ch} k_m p \text{ch} k_m p & \text{ch} k_m p \text{sh} k_m p & \text{ch} k_m p \text{ch} k_m p & \text{ch} k_m p \text{sh} k_m p & \text{ch} k_m p & \text{sh} k_m p \\ \text{ch} k_m p \text{sh} k_m p & \text{ch} k_m p \text{ch} k_m p & \text{ch} k_m p \text{ch} k_m p & \text{ch} k_m p \text{sh} k_m p & \text{ch} k_m p & \text{sh} k_m p \\ \text{sh} k_m p & \text{ch} k_m p & \text{ch} k_m p \text{sh} k_m p & \text{ch} k_m p \text{ch} k_m p & \text{ch} k_m p & \text{sh} k_m p \end{bmatrix} \begin{bmatrix} \text{ch} k_m p & \text{sh} k_m p & \text{ch} k_m p \text{ch} k_m p & \text{ch} k_m p \text{sh} k_m p & \text{sh} k_m p & \text{ch} k_m p \\ \text{ch} k_m p & \text{sh} k_m p & \text{ch} k_m p \text{ch} k_m p & \text{ch} k_m p \text{sh} k_m p & \text{sh} k_m p & \text{ch} k_m p \\ \text{sh} k_m p & \text{ch} k_m p & \text{ch} k_m p \text{ch} k_m p & \text{ch} k_m p \text{sh} k_m p & \text{ch} k_m p & \text{sh} k_m p \\ \text{ch} k_m p \text{ch} k_m p & \text{ch} k_m p \text{sh} k_m p & \text{ch} k_m p \text{ch} k_m p & \text{ch} k_m p \text{sh} k_m p & \text{ch} k_m p & \text{sh} k_m p \\ \text{ch} k_m p \text{sh} k_m p & \text{ch} k_m p \text{ch} k_m p & \text{ch} k_m p \text{ch} k_m p & \text{ch} k_m p \text{sh} k_m p & \text{ch} k_m p & \text{sh} k_m p \\ \text{sh} k_m p & \text{ch} k_m p & \text{ch} k_m p \text{sh} k_m p & \text{ch} k_m p \text{ch} k_m p & \text{ch} k_m p & \text{sh} k_m p \end{bmatrix} \text{Nm} \quad (6)$$

Y方向の有限帯板向の連続条件をとる場合、境界において w , θ_y , M_y , V_y についてのみ考慮すればよい。式(6)式を記号化すると

$$W(z, p) = \sum_{m=1}^{\infty} \sin lmz \cdot D_m R_m(p) N_m \quad (7)$$

IV) 荷重マトリクス



荷重載荷点 ($p = K$) での力釣合はこれ

$$\begin{bmatrix} W \\ \theta_y \\ M_y \\ V_y \end{bmatrix} = \begin{bmatrix} w \\ \theta_y \\ M_y \\ V_y \end{bmatrix} - \begin{bmatrix} 0 \\ 0 \\ 0 \\ f(z) \end{bmatrix} \quad (8)$$

(7)式を用いて(8)式を書きかえると

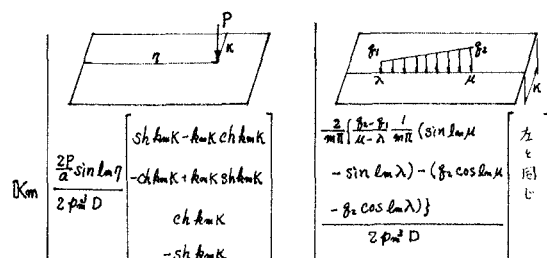
$$\sum_{m=1}^{\infty} \sin lmz D_m R_m(K) (N_m' - N_m) = - [0 \ 0 \ 0 \ f(z)]^T \quad (9)$$

荷重 $f(z)$ は一般に Fourier 級数展開されて次式のように表現できる。

$$f(z) = \sum_{m=1}^{\infty} P_m \sin lmz \quad (10)$$

(10)式と(9)式に代入すれば $\sin lmz$ が約り合われて、変数 m が消去され、解析上では 2 次元問題が 1 次元問題へと移行した事になる。いまスカラ分布する線荷重について考えると、力釣合式は次のようになる。

$$\begin{bmatrix} 1 & 0 & 0 & 0 \\ 0 & P_m & 0 & 0 \\ 0 & 0 & 1 & 0 \\ 0 & 0 & 0 & 1 \end{bmatrix} \begin{bmatrix} \text{ch}lmK \text{sh}lmK \text{th}lmK \text{ch}lmK \\ \text{sh}lmK \text{ch}lmK \text{ch}lmK + \text{sh}lmK \\ \text{ch}lmK \text{sh}lmK \text{th}lmK \text{ch}lmK \\ \text{sh}lmK + 3\text{th}lmK \end{bmatrix} (N_m' - N_m) = - \begin{bmatrix} 0 \\ 0 \\ 0 \\ 1 \end{bmatrix}$$



3. あとがき 紙面の都合で充分な説明を行えなかつたが、ここでは荷重項について重点的に紙面をさした。なお剛性マトリクスについては、今まで多数の演算子法についての発表がなされているので、ここでは割愛した。電算プログラムについては(株)日本構造機器研究所・酒井技術と著者の協力のもと、FACOM 230-15 の小型コンピュータを用いて作成し、結果を得ている。なおプログラム作成あたり国鉄・石橋高良技師の重要な示唆を与えてもらつた事を感謝いたします。

文献(1) Timoshenko and Woinowsky-Krieger "Plate and Shell". 文献(2) Yau-kai Cheung "Finite Strip Method of Elastic Slabs"

荷重マトリクス $[K_m]$ $[R_m] = [N_m' - N_m]$ と表現できることで

$$[K_m] = \frac{P_m}{2\pi m^2 D} [\text{sh}lmK - \text{th}lmK \text{ch}lmK, -\text{ch}lmK + \text{th}lmK \text{sh}lmK, \text{ch}lmK, \text{sh}lmK]^T \quad (12)$$

次に Y 方向に分布する荷重を考える。Y 方向の微小区間は $dy = \delta dk$ となり

$$d[K_m] = \frac{P_m}{2\pi m^2 D} [\text{sh}lmK - \text{th}lmK \text{ch}lmK, -\text{ch}lmK + \text{th}lmK \text{sh}lmK, \text{ch}lmK, \text{sh}lmK]^T \delta dk \quad (13)$$

したがって Y 方向に分布する荷重マトリクスは

$$[K_m] = \int_0^L d[K_m] = \frac{P_m}{2\pi m^2 D} [2\text{ch}lmP - \text{th}lmP \text{sh}lmP - 2, -2\text{sh}lmP + \text{th}lmP \text{ch}lmP, \text{sh}lmP, -\text{ch}lmP + 1]^T \quad (14)$$

他の荷重についても組織的に求められ、表でこれらを示す。またこれらの荷重マトリクスに θ_y , θ_z のマトリクスを内積して加え合わせると(11)式の特殊解を与える事になる。演算子法によれば荷重マトリクスが得られる特長がある。

V) 刚性マトリクス

$y = 0, \theta_y, \theta_z$ の変位量及び力量を引数の 0, 1 で表現すれば、1 枚の Strip についての剛性マトリクスは

$$\begin{bmatrix} U_m(0) \\ U_m(1) \end{bmatrix} = \begin{bmatrix} \text{ch}lm & \text{sh}lm \\ \text{sh}lm & \text{ch}lm \end{bmatrix} \begin{bmatrix} U_m(0) \\ U_m(1) \end{bmatrix} + \begin{bmatrix} g_m \\ f_m \end{bmatrix} [K_m] \quad (15)$$

全体会の剛性マトリクスについては、(5)式を組織的に組み上げて三軸マトリクス (Tri-diagonal Matrix) が得られる。

$$\begin{bmatrix} B_{m,1} C_{m,1} \\ A_{m,2} B_{m,2} C_{m,2} \\ \cdots \\ A_{m,n-1} B_{m,n-1} C_{m,n-1} \\ A_{m,n} B_{m,n} \end{bmatrix} \begin{bmatrix} U_{m,1} \\ U_{m,2} \\ \cdots \\ U_{m,n-1} \\ U_{m,n} \end{bmatrix} + \begin{bmatrix} P_{m,1} \\ P_{m,2} \\ \cdots \\ P_{m,n-1} \\ P_{m,n} \end{bmatrix} = 0 \quad (16)$$

